

MAPAS DE DISTRIBUCIÓN POTENCIAL EN COLOMBIA

Se obtuvo la distribución de las aves del Lago de Tota mediante modelación de nicho ecológico utilizando el algoritmo de máxima Entropía (Phillips et al. 2006). En la construcción del modelo seguimos la conceptualización de la teoría BAM para delimitar el área geográfica que la especie podría llegar a ocupar gracias a la dispersión; esta área se denomina M (Soberón J. M. 2010). El espacio geográfico M para cada especie corresponde a las provincias biogeográficas definidas por Morrone (2014), que presentaron al menos una ocurrencia de la especie.

En la construcción de los modelos de nicho se utilizaron ocurrencias verificadas bajo la metodología de Biomodelos del Instituto Alexander von Humboldt para 81 especies. Para las especies restantes, los registros fueron descargados directamente del GBif (Global Biodiversity Information Facility) y fueron filtrados según los rangos altitudinales reportados para cada especie según McMullan M. et al. (2011). Para once especies se modeló el nicho utilizando la plataforma Wallace (Kass J. M. et al. 2018), ya que permitió acceder a ocurrencias más recientes. Las ocurrencias de cada especie fueron relacionadas con 19 variables bioclimáticas de WorldClim V2 (Fick, S.E. & R.J. Hijmans, 2017) a una resolución de 20 km². Se seleccionaron los modelos con mejor ajuste de acuerdo al área bajo la curva (AUC) y se obtuvo un mapa binario siguiendo el criterio de percentil 10.

Una vez se obtuvo el mapa binario se realizó un post procesamiento para evitar sobrepredicción (<https://github.com/pamontoya/hybridsMaps/blob/master/hybri2>). El mapa de distribución final se denomina híbrido dos y se obtuvo reduciendo la predicción del modelo de nicho a regiones continuas con al menos una ocurrencia.

Literatura Mapas de Distribución

Fick, S.E. & R.J. Hijmans, 2017. Worldclim 2: New 1-km spatial resolution climate surfaces for global land areas. International Journal of Climatology.

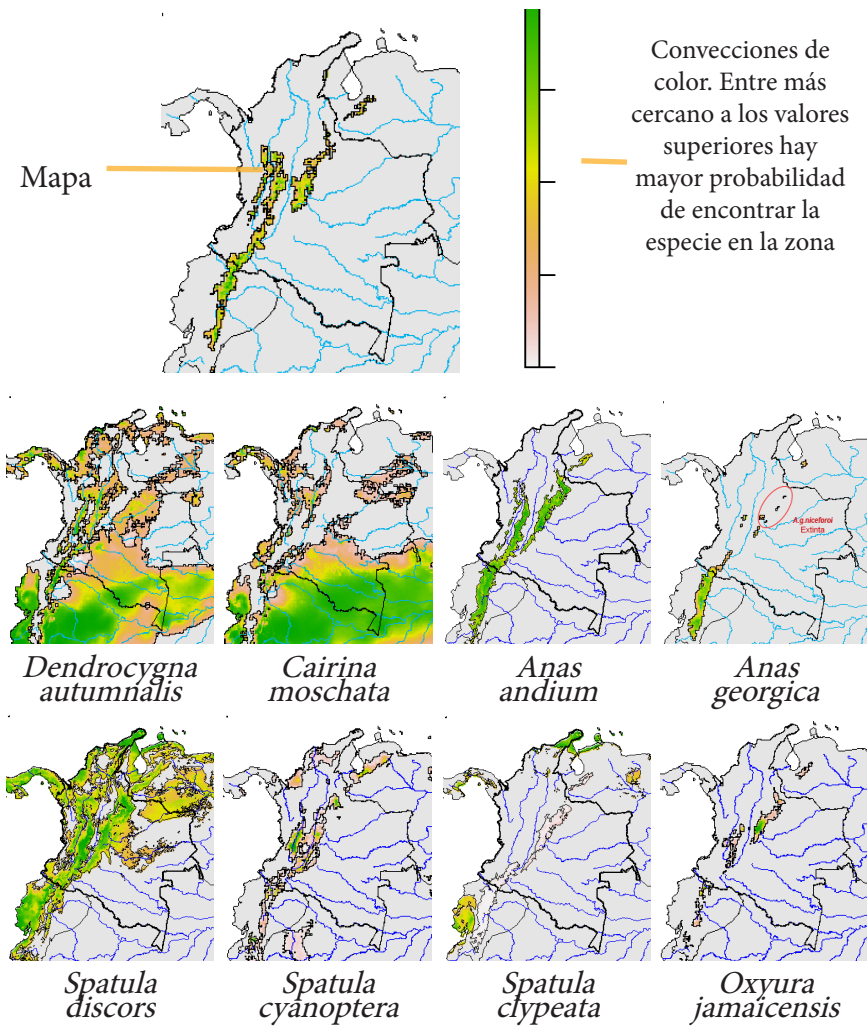
Kass, J. M., Vilela, B., Aiello-Lammens, M. E., Muscarella, R., Merow, C., & Anderson, R. P. (2018). Wallace: A flexible platform for reproducible modeling of species niches and distributions built for community expansion. Methods in Ecology and Evolution, 9(4), 1151-1156.

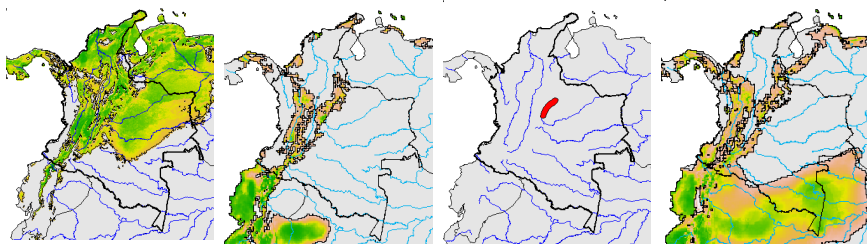
McMullan, M., Quevedo, A., & Donegan, T. M. (2011). Guía de campo de las aves de Colombia. ProAves.

Morrone, J.J.(2014). Cladistic biogeography if the Neotropical region identifying the main events un the diversification of the terrestrial biota. Cladistics, 30,202-214.

Phillips S., Robert P. Anderson, Robert E. Schapire. 2006. Maximum entropy modeling of species geographic distributions. Ecological Modelling, 190:231-259, 2006.

Soberón, J. M. (2010). Niche and area of distribution modeling: a population ecology perspective. Ecography, 33(1), 159-167.



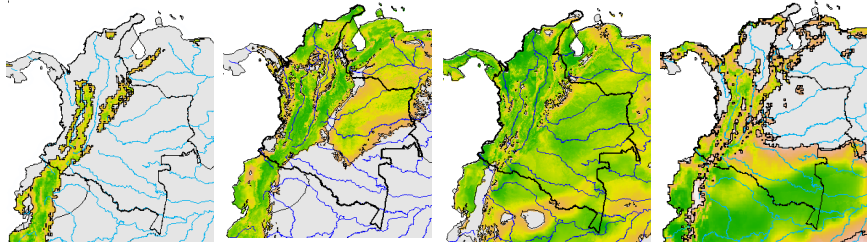


*Colinus
cristatus*

*Podilymbus
podiceps*

*Podiceps
andinus*

*Columba
livia*

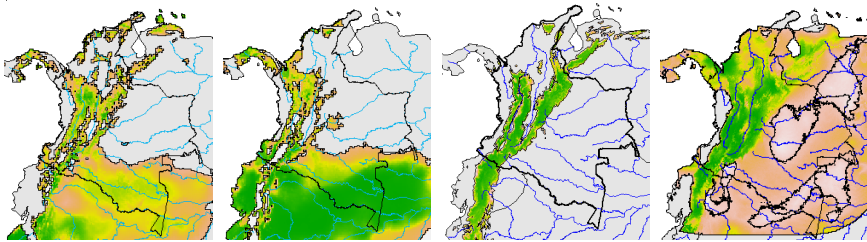


*Patagioenas
fasciata*

*Zenaida
auriculata*

*Crotaphaga
major*

*Crotaphaga
ani*

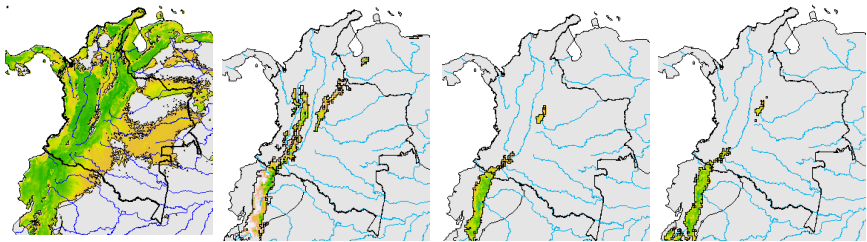


*Coccyzus
americanus*

*Chordeiles
minor*

*Systellura
longirostris*

*Antrostomus
carolinensis*



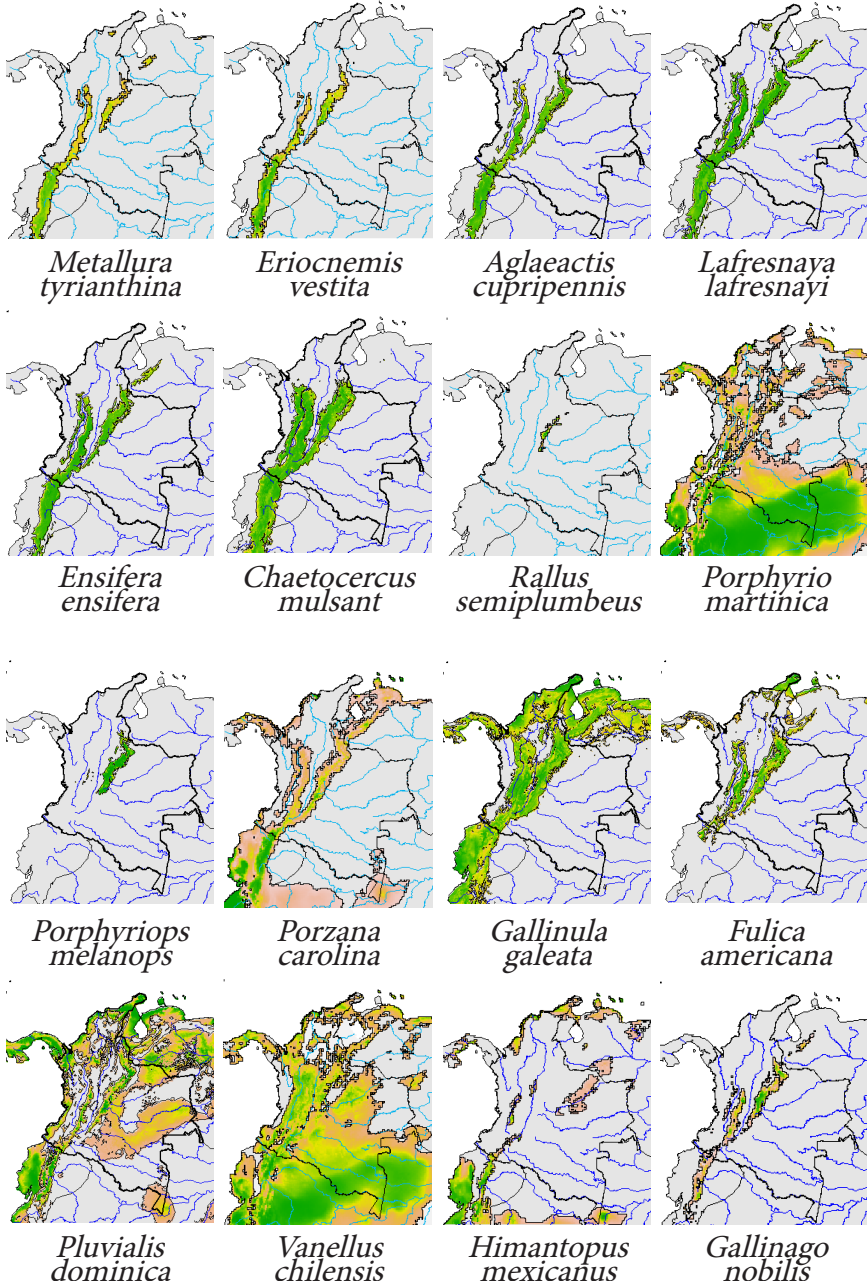
*Streptoprocne
zonaris*

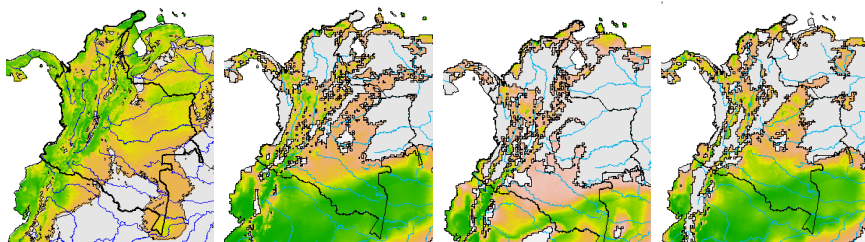
*Colibri
coruscans*

*Lesbia
victoriae*

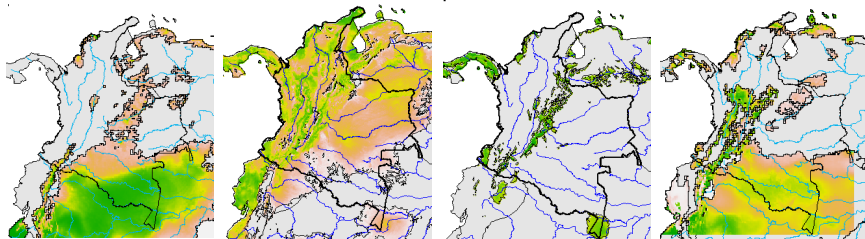
*Lesbia
nuna*







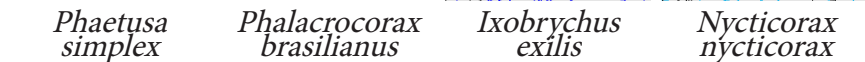
*Actitis
macularius*



*Tringa
solitaria*

*Tringa
flavipes*

*Jacana
jacana*

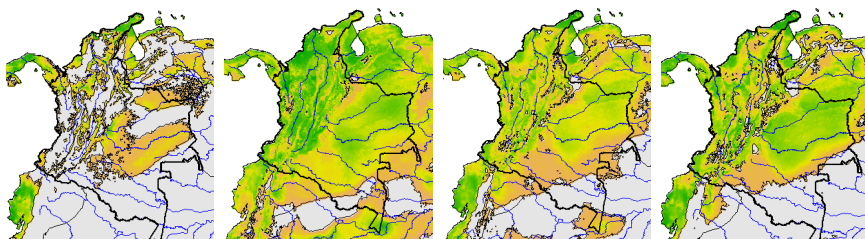


*Phaetusa
simplex*

*Phalacrocorax
brasiliensis*

*Ixobrychus
exilis*

*Nycticorax
nycticorax*

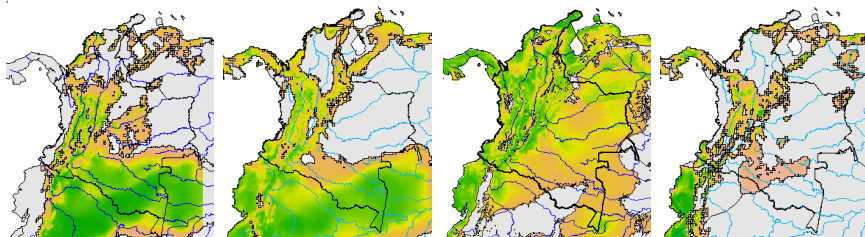


*Butorides
virescens*

*Butorides
striata*

*Egretta
thula*

*Egretta
caerulea*

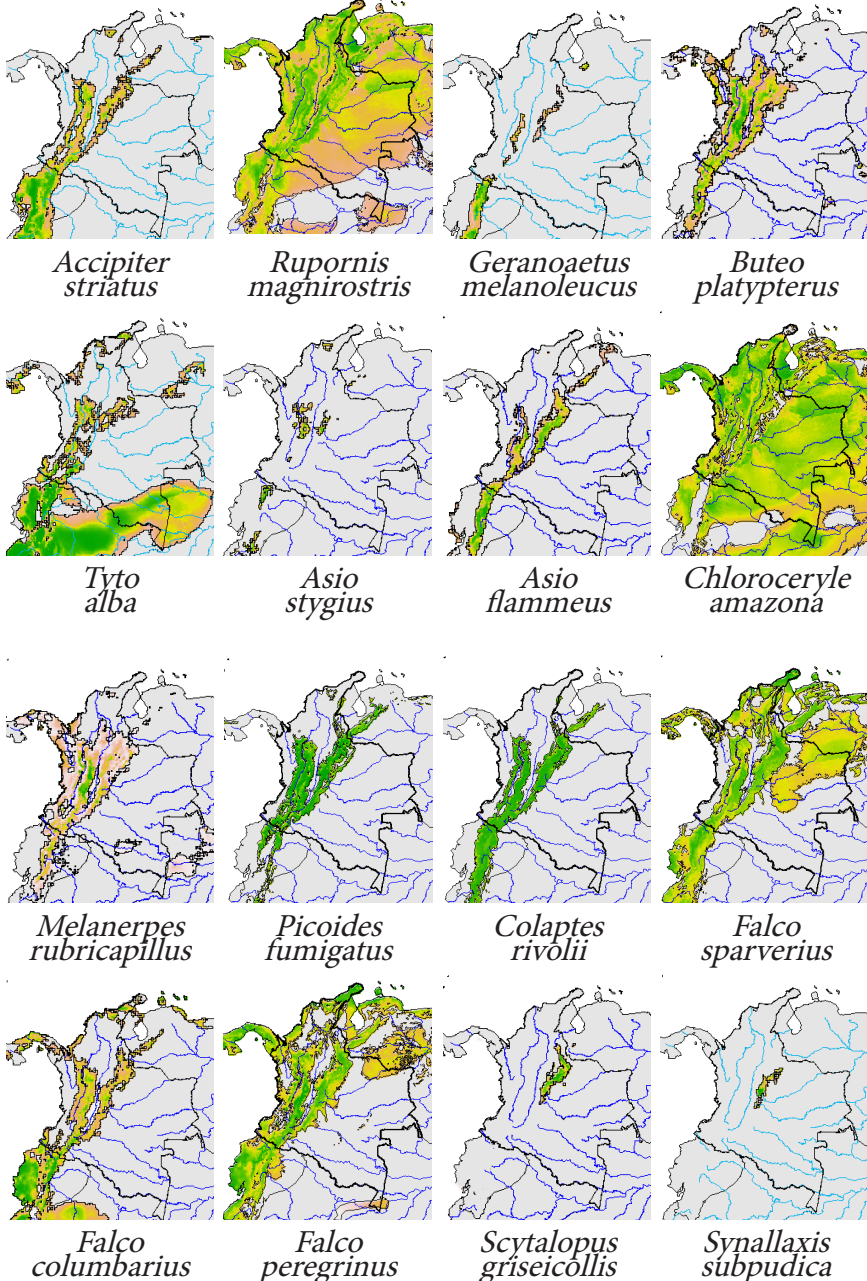


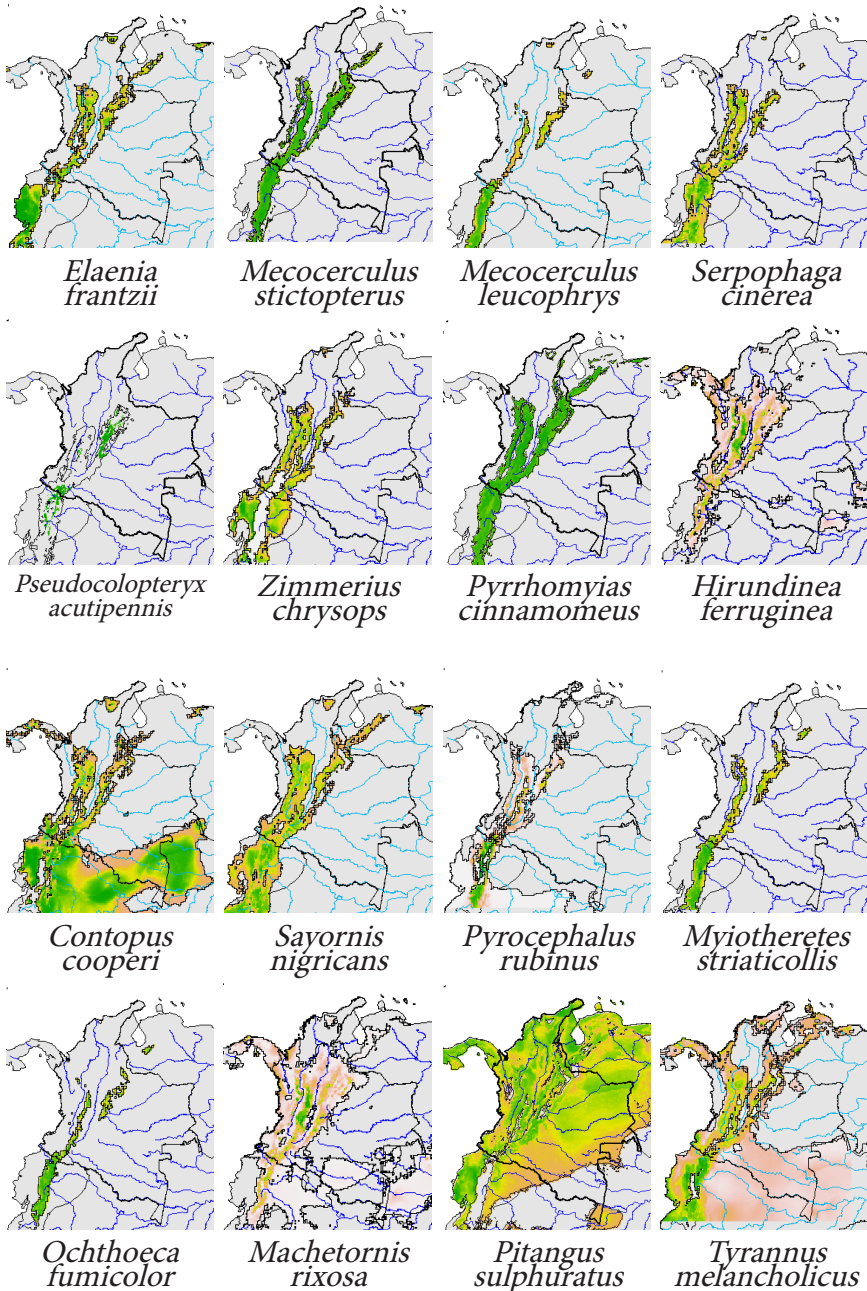
*Phimosus
infuscatus*

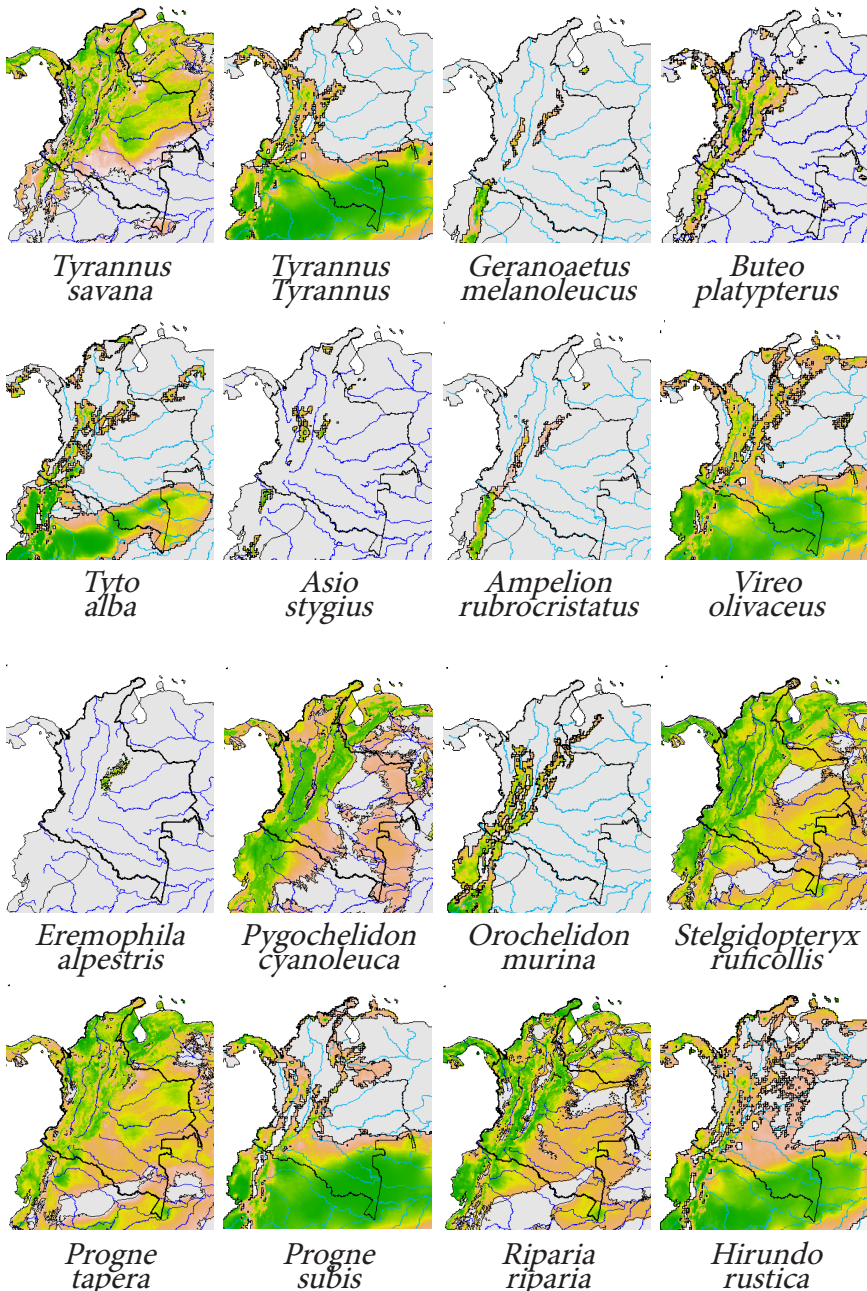
*Coragyps
atratus*

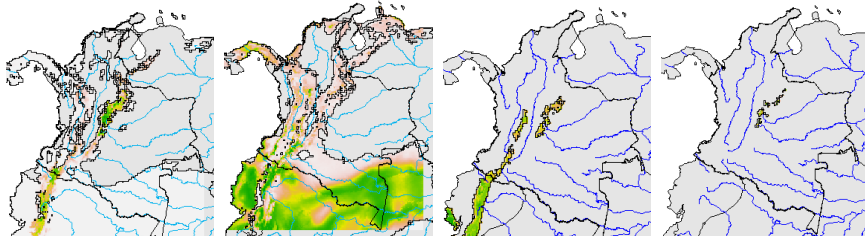
*Pandion
haliaetus*

*Elanus
leucurus*







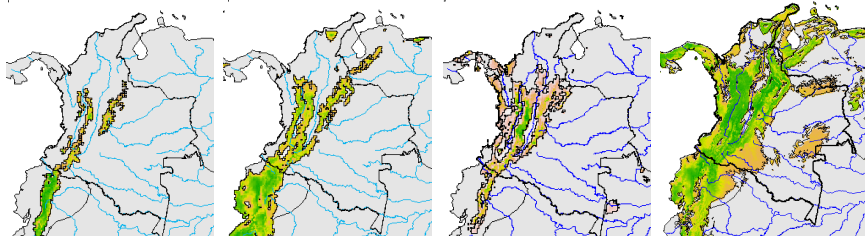


*Petrochelidon
pyrrhonota*

*Troglodytes
aedon*

*Cistothorus
platensis*

*Cistothorus
apolinari*

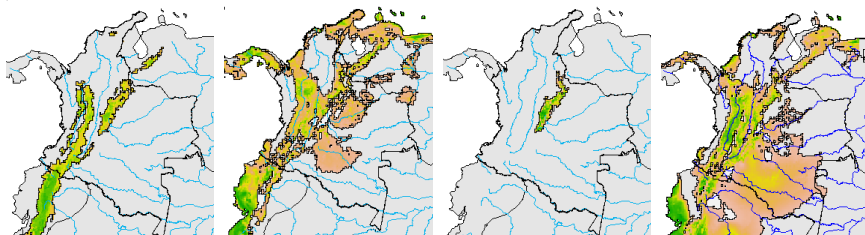


*Cinnycerthia
unirufa*

*Henicorhina
leucophrys*

*Cinclus
leucocephalus*

*Catharus
ustulatus*

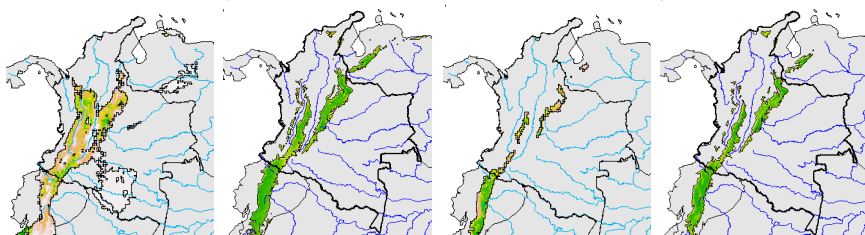


*Turdus
fuscater*

*Mimus
gilvus*

*Conirostrum
rufum*

*Sicalis
flaveola*

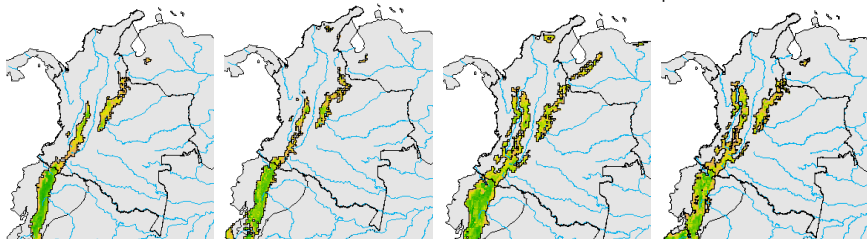


*Sicalis
luteola*

*Catamenia
analis*

*Catamenia
inornata*

*Geospizopsis
unicolor*

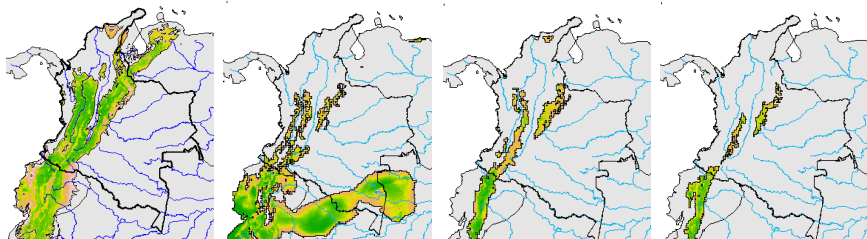


*Diglossa
lafresnayii*

*Diglossa
humeralis*

*Diglossa
albilateralis*

*Diglossa
cyanea*

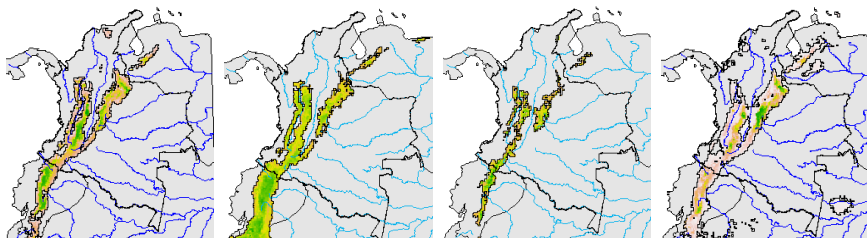


*Sporophila
luctuosa*

*Pipraeidea
melanonota*

*Dubusia
taeniata*

*Anisognathus
igniventris*

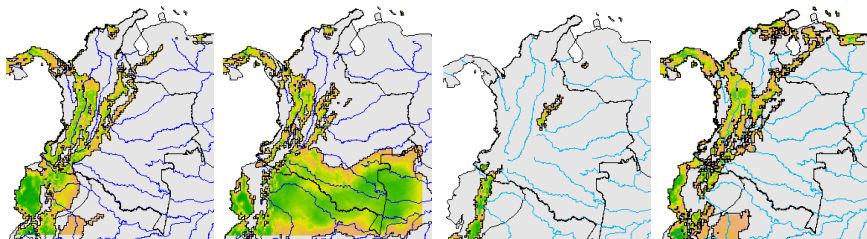


*Arremon
assimilis*

*Zonotrichia
capensis*

*Atlapetes
schistaceus*

*Atlapetes
pallidinucha*

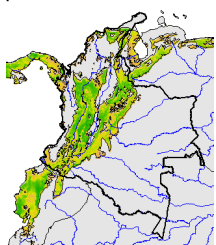


*Piranga
rubra*

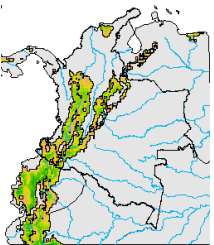
*Piranga
olivacea*

*Pheucticus
aureoventris*

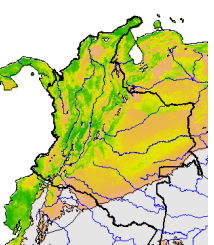
*Parkesia
noveboracensis*



*Mniotilla
varia*



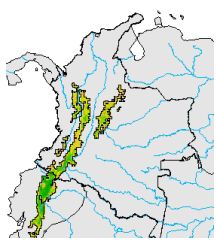
*Setophaga
fusca*



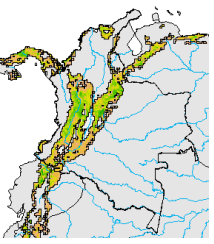
*Setophaga
petechia*



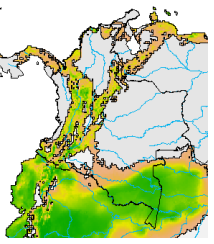
*Myiothlypis
nigrocristata*



*Myioborus
ornatus*



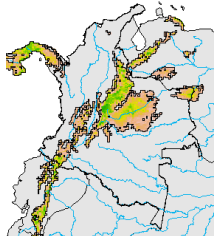
*Icterus
chrysater*



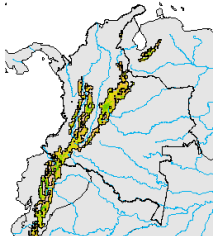
*Molothrus
bonariensis*



*Quiscalus
lugubris*



*Sturnella
magna*



*Spinus
spinescens*



*Spinus
psaltria*

